

Внешние биллиарды вне правильного двенадцатиугольника: компьютерное доказательство периодичности почти всех орбит и существования аperiодической орбиты

Филипп Рухович

12 сентября 2018 г.

Раздел: теория динамических систем
517.938 УДК

Аннотация

Доказано существование аperiодической орбиты для внешнего биллиарда вне правильного двенадцатиугольника, а также что почти все траектории такого внешнего биллиарда являются периодическими; явно выписаны все возможные периоды. Доказательство базируется на фактах, установленных с помощью алгоритма, реализованного автором и выполненного на компьютере. Все вычисления в алгоритме были выполнены абсолютно точно; такие вычисления можно проделать «вручную», однако объем вычислений оказывается для этого слишком большим.

1 Введение

Пусть γ — выпуклая фигура, а p — точка вне ее. Проведем правую относительно p касательную к γ ; определим $Tp \equiv T(p)$ как точку, симметричную p относительно точки касания.

Определение 1. Отображение T называется внешним биллиардом; фигура γ называется столом внешнего биллиарда.

Определение 2. Точку p вне фигуры γ назовем периодической, если существует такое натуральное n , что $T^n p = p$; минимальное такое n назовем периодом точки p и обозначим как $per(p)$.

Определение 3. Точку p вне фигуры γ назовем апериодической, если она — не периодическая, а ее траектория бесконечна в две стороны.

Определение 4. Точку p вне фигуры γ назовем граничной, если $T^n p$ не определено для некоторого $n \in \mathbb{Z}$.

В данной статье будем полагать, что γ — выпуклый многоугольник.

Внешние биллиарды были введены Бернардом Нойманном в 1950-х годах и стали популярны в 1970-х благодаря Ю.Мозеру [3]. Внешние биллиарды исследовались рядом авторов (см. например, [2], [4], [5], [6] а также монографию [7]). Так, Р.Шварц [4] показал, что траектория начальной точки может быть неограниченной, тем самым разрешив вопрос Мозера - Нойманна, поставленный в [3].

В центре нашего внимания находятся следующие открытые в общем случае проблемы периодичности:

1. Существует ли апериодическая точка для внешнего биллиарда вне правильного n -угольника?
2. Какова мера периодических орбит внешнего биллиарда вне правильного n -угольника?

Данная статья является продолжением статьи [1], в которой в деталях исследовался внешний биллиард вне правильного восьмиугольника. С.Л.Табачников в [2] решил проблемы периодичности для случаев $n = 3, 4, 6$: для них апериодической точки нет (а периодические, соответственно, образуют множество полной меры), а также для $n = 5$ - здесь апериодические точки существуют, но их мера равна нулю. В монографии [7], опубликованной Американским математическим обществом в 2005 г., С.Л.Табачников приводит результаты компьютерного моделирования для восьмиугольника, но пишет, что «строгого анализа до сих пор нет», и что для других случаев результатов нет. В дальнейшем правильный пятиугольник и связанная с ним символическая динамика подробно исследовались в работе N.Bedaride и J.Cassaigne [6] (см. также их монографию [9]).

В монографиях [10], [11] Р.Шварц исследовал внешний биллиард вне правильного восьмиугольника и множество связанных с ним вопросов; однако решения проблем периодичности им получено не было.

Правильные 3-х, 4-х и 6-угольники являются простейшими. По мнению сообщества, следующими по сложности с точки зрения проблем периодичности являются случаи $n = 5, 10, 8, 12$, ибо только в этих случаях, по-видимому, существует самоподобие периодических структур. Случай $n = 5$ был исследован Табачниковым [2]; случай $n = 8$ был исследован автором в [1]; случай же $n = 10$ похож на случай $n = 5$ (см. [6]). Внешний же биллиард вне правильного двенадцатиугольника обладает наиболее сложной из описанных случаев структурой, и самоподобие здесь достигается более нетривиальным методом, нежели в других случаях. Таким образом, исследование случая $n = 12$ в некотором смысле полностью закрывает проблемы периодичности для «самоподобных» случаев.

Основным результатом данной работы являются следующие теоремы.

Теорема 1. Для внешнего биллиарда вне правильного двенадца-

тиугольника существует апериодическая точка.

Теорема 2. В случае внешнего биллиарда вне правильного двенадцатиугольника, периодические точки образуют вне стола множество полной меры.

Теорема 3.

Введем следующие матрицы:

$$M_{68} := \begin{pmatrix} 1 & 0 & 0 & 0 & 0 & 0 & 0 & 0 \\ 0 & 1 & 0 & 0 & 0 & 0 & 0 & 0 \\ 0 & 0 & 1 & 0 & 0 & 0 & 0 & 0 \\ 0 & 0 & 0 & 1 & 8 & 18 & 13 & 24 \\ 0 & 0 & 0 & 0 & 2 & 7 & 14 & 29 \\ 0 & 0 & 0 & 0 & 0 & 0 & 0 & 0 \end{pmatrix}, M_{66} := \begin{pmatrix} 0 & 0 & 0 & 0 & 0 & 0 & 0 \\ 0 & 0 & 0 & 0 & 0 & 0 & 0 \\ 0 & 0 & 0 & 0 & 0 & 0 & 0 \\ 0 & 0 & 0 & 0 & 0 & 0 & 0 \\ 5 & 4 & 3 & 2 & 1 & 0 & 0 \\ 1 & 1 & 1 & 1 & 1 & 1 & 1 \end{pmatrix},$$

$$M_{88} := \begin{pmatrix} 2 & 2 & 2 & 2 & 20 & 50 & 26 & 50 \\ 2 & 2 & 2 & 2 & 20 & 50 & 26 & 50 \\ 4 & 4 & 4 & 4 & 42 & 107 & 74 & 145 \\ 2 & 2 & 2 & 2 & 20 & 50 & 48 & 94 \\ 0 & 1 & 0 & 0 & 0 & 0 & 0 & 0 \\ 1 & 0 & 0 & 0 & 0 & 0 & 0 & 0 \\ 0 & 0 & 0 & 1 & 8 & 18 & 13 & 24 \\ 0 & 0 & 1 & 0 & 0 & 0 & 0 & 0 \end{pmatrix}.$$

Пусть

$$\begin{aligned}
F := \{ & \left(\begin{array}{c} 0 \\ 1 \\ 0 \\ 0 \\ 0 \\ 0 \\ 0 \end{array} \right), \left(\begin{array}{c} 0 \\ 0 \\ 1 \\ 0 \\ 0 \\ 0 \\ 0 \end{array} \right), \left(\begin{array}{c} 9 \\ 2 \\ 5 \\ 2 \\ 0 \\ 0 \\ 0 \end{array} \right), \left(\begin{array}{c} 6 \\ 4 \\ 10 \\ 4 \\ 0 \\ 0 \\ 0 \end{array} \right), \left(\begin{array}{c} 0 \\ 2 \\ 3 \\ 0 \\ 0 \\ 1 \\ 0 \end{array} \right), \left(\begin{array}{c} 24 \\ 24 \\ 120 \\ 102 \\ 0 \\ 0 \\ 18 \end{array} \right), \left(\begin{array}{c} 48 \\ 48 \\ 156 \\ 108 \\ 0 \\ 0 \\ 24 \end{array} \right), \left(\begin{array}{c} 4 \\ 4 \\ 9 \\ 4 \\ 0 \\ 0 \\ 1 \\ 0 \end{array} \right), \\
& \left(\begin{array}{c} 1 \\ 0 \\ 0 \\ 1 \\ 1 \\ 0 \\ 0 \\ 0 \\ 0 \\ 0 \\ 0 \\ 0 \end{array} \right), \left(\begin{array}{c} 0 \\ 2 \\ 4 \\ 2 \\ 0 \\ 0 \\ 1 \\ 0 \\ 0 \\ 0 \\ 0 \\ 0 \end{array} \right), \left(\begin{array}{c} 2 \\ 0 \\ 7 \\ 8 \\ 0 \\ 0 \\ 1 \\ 0 \\ 0 \\ 0 \\ 0 \\ 0 \end{array} \right), \left(\begin{array}{c} 0 \\ 6 \\ 13 \\ 6 \\ 0 \\ 0 \\ 2 \\ 0 \\ 0 \\ 0 \\ 0 \\ 0 \end{array} \right) \}, G := \{ \left(\begin{array}{c} 0 \\ 0 \\ 0 \\ 0 \\ 1 \\ 0 \\ 0 \end{array} \right), \left(\begin{array}{c} 0 \\ 0 \\ 0 \\ 0 \\ 0 \\ 24 \\ 36 \end{array} \right), \left(\begin{array}{c} 0 \\ 0 \\ 0 \\ 0 \\ 0 \\ 0 \\ 0 \end{array} \right), \left(\begin{array}{c} 0 \\ 0 \\ 0 \\ 0 \\ 0 \\ 18 \\ 36 \end{array} \right), \\
& \left(\begin{array}{c} 0 \\ 0 \\ 0 \\ 0 \\ 0 \\ 0 \\ 0 \\ 0 \\ 0 \\ 0 \\ 0 \\ 0 \end{array} \right), \left(\begin{array}{c} 0 \\ 0 \\ 0 \\ 0 \\ 0 \\ 0 \\ 0 \\ 0 \\ 0 \\ 0 \\ 0 \\ 0 \end{array} \right) \}.
\end{aligned}$$

Пусть $H := \{M_{66}^k M_{68} M_{88}^n f \mid f \in F, k, n \in \mathbb{Z}_{\geq 0}\} \cup \{M_{66}^k g \mid g \in G, k \in \mathbb{Z}_{\geq 0}\}$, и пусть $B := \{12 \frac{(1 \ 1 \ 1 \ 1 \ 1 \ 1)^h}{\text{НОД}(12, (1 \ 2 \ 3 \ 4 \ 5 \ 6)_h)} \mid h \in H\}$.

Множество всевозможных периодов точек для внешнего биллиарда вне правильного двенадцатиугольника есть объединение $B \cup \{2*b \mid b \in B, b \text{ нечетно}\}$.

В доказательстве всех трех теорем принимают активное участие компьютерные вычисления. Дело в том, что можно ввести систему координат на плоскости таким образом, что вершины двенадцати-

угольника и многие связанные с исследованием точки имели бы координаты, лежащие в поле $\mathbb{Q}[\sqrt{3}]$; это, в совокупности с наличием в языке Python типа данных, хранящего целые числа произвольной длины, позволяет проводить необходимые компьютерные вычисления абсолютно точно.

2 Базовые обозначения и замечания

Будем следовать плану, намеченному в [Rukhovich18]. Рассмотрим рис. 1 и изображенный на нем правильный двенадцатиугольник $\gamma = A_0A_1\dots A_{11}$. Введем систему координат таким образом, что координаты всех точек лежат в поле $\mathbb{Q}[\sqrt{3}]$. Пусть l_i есть прямая, проходящая через вершины A_i и $A_{(i+1) \bmod 12}$, $i = 0, 1, \dots, 11$, а точка $C_i, i \in [0, 11]$ как точку пересечения прямых $l_{(i-2) \bmod 12}$ и $l_{(i+2) \bmod 12}$. Пусть $\gamma^i = A_0^iA_1^i\dots A_{11}^i$ - это открытый многоугольник, симметричный столу γ относительно точки C_i .

Заметим, что $\forall i \in [0, 12] : A_1^i = A_6^{(i+1) \bmod 12}$. Это означает, что многоугольники γ^i ограничивают невыпуклый многоугольник

$$Z := A_3^0A_2^0A_1^0A_0^0A_{11}^0A_4^1A_3^1A_2^1A_1^1A_0^1\dots A_2^{11}A_1^{11}A_0^{11}A_{11}^{11}A_{10}^{11}.$$

Лемма 1. $\forall i \in [0, 12] : T(\gamma^i) = \gamma^{(i+5) \bmod 12}$.

Лемма 2. $T(Z) \subset Z \supset T^{-1}(Z)$.

Также введем «классическое» для внешнего биллиарда (см., например, [6]) кодирование орбит.

Определение 5. Пусть $V_i, i \in [0, 12)$, есть угол $A_{(i-1) \bmod 12}A_iA_i^{(i-2) \bmod 12}$.

Лемма 3. Пусть p - произвольная точка вне γ , а $i \in [0, 12)$. Тогда преобразование T для точки p определено и является центральной симметрией относительно вершины A_i , если и только если $p \in \partial V_i$.

Определение 6. Пусть p - периодическая или апериодическая точка вне стола γ . Тогда $\rho(p)$ есть бесконечная в обе стороны после-

довательность $(u_n), n \in \mathbb{Z}$, т.ч. $\forall n \in \mathbb{Z} : T^n(p) \in \text{int}(V_{u_n})$.

Определение 7. Пусть p - граничная точка вне стола γ , т.ч. последовательное применение преобразования T может быть выполнено ровно $m \in [0, +\infty]$ раз, а преобразования T^{-1} - $l \in [0, +\infty]$ раз. Тогда $\rho(p)$ есть последовательность $(u_n), n \in [-l, m]$, т.ч. $\forall n \in [-l, m] : T^n(p) \in \text{int}(V_{u_n})$.

Отметим, что такой код ρ может быть введен для произвольного многоугольного стола.

3 Ограничение преобразования

Заметим, что преобразование T инвариантно относительно поворота на угол $z\frac{\pi}{6}, z \in \mathbb{Z}$ вокруг центра многоугольника γ . Отождествим точки относительно такого поворота. Как следствие, изучаемую область можно ограничить до угла $A_6^3A_1A_2$, на котором преобразование внешнего биллиарда T индуцирует преобразование T' . Фигура же Z ограничивается до фигуры Z' , являющейся шестиугольником $A_1A_2^3A_3^3A_4^3A_5^3A_6^3$. Очевидно, Z' похож на «ракету» с основанием в многоугольнике γ^3 ; будем называть «ракетами» шестиугольники, подобные Z' .

Опишем преобразование T' (см. рис. 2). Пусть точки P_1, P_2, \dots, P_5 суть точки пересечений луча A_0A_1 с лучами $A_2A_1, A_3A_2, \dots, A_6A_5$ соответственно, а точки Q_2, Q_3, \dots, Q_6 суть точки пересечений луча A_1A_2 с лучами $A_3A_2, A_4A_3, \dots, A_7A_6$ соответственно. Отметим, что некоторые из точек получили вторые, а то и третьи имена; так, $P_1 = A_1, Q_2 = A_2, Q_5 = C_3, P_5 = A_6^3, Q_6 = A_1^3 = A_6^4$. Пусть фигура α_1 есть треугольник $P_1P_2Q_2$, α_2 — четырехугольник $P_2P_3Q_3Q_2$, α_3 — четырехугольник $P_3P_4Q_4Q_3$, α_4 — четырехугольник $P_4P_5Q_5Q_4$, α_5 — бесконечная фигура, ограниченная лучом $A_6^3A_7^3 = P_5A_7^3$, отрезками P_5Q_5 и Q_5Q_6 и лучом $Q_6A_3^0 = A_1^3A_3^0$, а α_6 есть угол между лучами $A_1^3A_0^3 = A_7^4A_0^3$ и $A_1^3A_8^4 = A_7^4A_8^4$. Другими словами, пусть $\alpha_1, \alpha_2, \dots, \alpha_6$

есть фигуры, на которые лучи $A_3A_2, A_4A_3, \dots, A_7A_6$ разбивают угол $P_2P_1Q_2$. Пусть также точки O_1, O_2, \dots, O_5 суть точки пересечения биссектрисы угла $P_2P_1Q_2$ с биссектрисами углов $P_1A_2Q_2, P_2A_3Q_3, \dots, P_5A_6Q_6$ соответственно.

Лемма 4. Пусть точка p лежит в углу $P_2P_1Q_2$. Тогда

$$p \in \{O_1, O_2, \dots, O_5\} \Leftrightarrow ((T'(p) \text{ определено}) \wedge (T'(p) = p)).$$

Лемма 5. Индуцированное преобразование T' есть кусочно-аффинное преобразование угла $P_2P_1Q_2$, устроенное таким образом, что:

- для фигуры $\alpha_i, i \in \{1, 2, 3, 4, 5\}$, T' есть поворот на угол $\frac{(6-i)\pi}{6}$ против часовой стрелки вокруг точки O_i ;
- для фигуры-угла α_6 , T' есть параллельный перенос на вектор $\overrightarrow{A_1^3A_7^3}$.

Для удобства будем считать, что на границах фигур $\alpha_i, i \in \{1, 2, \dots, 6\}$, преобразование T' не определено.

Лемма 6. Пусть точка $p \in Z'$. Тогда p является периодической (граничной, апериодической) относительно преобразования внешнего биллиарда T , если и только если p есть периодическая (граничная, апериодическая) точка относительно преобразования T' .

Введем также «индукционный» код ρ' для преобразования T' .

Определение 8. Пусть $p \in Z'$ - периодическая или апериодическая точка. Тогда $\rho'(p)$ есть бесконечная в обе стороны последовательность $(u'_n), n \in \mathbb{Z}$, т.ч. $\forall n \in \mathbb{Z} : T'^n(p) \in \text{int}(\alpha_{u'_n})$.

Аналогичным образом можно определить и «индукционный» код и для граничных точек. Далее под словом «код» мы будем подразумевать именно ρ' , если не указано обратное.

Введем также еще одно техническое определение.

Определение 9. Пусть $p \in Z'$ - точка с кодом $(u'_n), n \in \mathbb{Z} \cap (l_1, l_2)$, $-\infty \leq l_1 < l_2 \leq +\infty$. Тогда будем обозначать $u'_n, n \in (l_1, l_2)$, как $\rho(p)[n]$, а подпоследовательность $u'_{k_1} u'_{k_1+1} \dots u'_{k_2}, l_1 < k_1 \leq k_2 < l_2$ как $\rho'(p)[k_1..k_2] \equiv \rho'(p)[k_1, k_2]$.

4 Поиск периодических компонент

Введем понятие периодической компоненты.

Определение 10. Компонентой называется максимальное по включению связное множество точек с одинаковым кодом. Компонента называется периодической, если хотя бы одна точка в ней является периодической.

Сформулируем несколько лемм об устройстве периодических компонент.

Лемма 7. Точка p является периодической, если и только если периодическим является ее код.

Периодические компоненты устроены следующим образом.

Лемма 8. Периодическая компонента есть открытый выпуклый невырожденный многоугольник, стороны которого параллельны сторонам стола γ . Граница же периодической компоненты состоит исключительно из граничных точек.

Введем также понятие периода.

Определение 11. Периодом точки p $\text{per}_T(p)$ / компоненты U $\text{per}_T(U)$ относительно преобразования T назовем минимальное натуральное число n , т.ч. $T^n(p) = p$ / $T^n(U) = U$, если такое n существует. Аналогичным образом введем и период $\text{per}_{T'}$ относительно преобразования T' .

Следующая лемма устанавливает важные свойства периодиче-

ских компонент.

Лемма 9. Для любой периодической компоненты U выполнены следующие утверждения:

1. Все точки U периодические.
2. U имеет период, как pert_T , так и $\text{pert}_{T'}$.
3. Если U есть центрально-симметричный многоугольник с центром c , и $\text{pert}(c)$ нечетен, то $\text{pert}(c) = \text{pert}(U)$, и $\forall p \in U \setminus \{c\} : \text{pert}(p) = 2\text{pert}(U)$; в любом ином случае, $\forall p \in U : \text{pert}(p) = \text{pert}(U)$.
4. $T'^{\text{pert}_{T'}(U)}(U)$ есть поворот U на угол $\frac{\pi l}{6}$ для некоторого $l \in \mathbb{Z}$ вокруг точки $c \in U$, являющейся центром масс U , причем $\text{pert}_{T'}(c) = \text{pert}_{T'}(U)$, и $\forall p \in U \setminus \{c\} : \text{pert}_{T'}(p) = \text{pert}_{T'}(U) * 12/\text{НОД}(l, 12)$.

Для любой заданной периодической точки p , лежащей внутри угла $P_2P_1Q_2$ с координатами в $\mathbb{Q}[\sqrt{3}]$ можно найти ее периодическую компоненту с помощью алгоритма 1.

Именно с помощью такого алгоритма, запущенного на ЭВМ, можно получить следующий результат. Будем говорить, что многоугольник A вписан в многоугольник B , если на каждой из сторон B це-

Algorithm 1: Поиск периодической компоненты, содержащей заданную точку.

Data: периодическая точка $startPoint$, лежащая в угле $P_2P_1Q_2$;

Result: многоугольник U , являющийся периодической компонентой, содержащей точку p .

```
1 Function findPeriodicComponent(startPoint);
2   | p := startPoint U0 := угол  $P_2P_1Q_2$ ;
3   | p0 := p;
4   | /* бесконечный цикл */ *
5   | for i = 0, 1, 2, ... do
6   |   | p := T'(p);
7   |   | U := той (возможно, бесконечно-)многоугольной части
8   |   | T'(U), которая содержит p;
9   |   | if многоугольник U уже встречался ранее then
10  |   |   | break;
11  |   | while точка startPoint НЕ лежит внутри U do
12  |   |   | U := T'(U);
13  |   | return U;
```

ликом лежит хотя бы одна из сторон A .

Лемма 10.

1. Периодической компонентой с кодом, равным $\dots 11111 \dots$, является правильный двенадцатиугольник W_1 , вписанный в треугольник $P_2P_1Q_2$, с центром в точке O_1 .
2. Периодической компонентой с кодом, равным $\dots 22222 \dots$, является равносторонний, но неправильный шестиугольник W_2 с углами $\frac{\pi}{2}, \frac{5\pi}{6}, \frac{\pi}{2}, \frac{5\pi}{6}, \frac{\pi}{2}, \frac{5\pi}{6}$ и центром O_2 , вписанный в четырехугольник $P_3P_2Q_2Q_3$ таким образом, что вершина одного из прямых углов совпадает с точкой P_3 , а противоположная вершина - с точкой Q_2 .
3. Периодической компонентой с кодом, равным $\dots 33333 \dots$, является равносторонний, но неправильный восьмиугольник W_3 с углами $\frac{2\pi}{3}, \frac{5\pi}{6}, \frac{2\pi}{3}, \frac{5\pi}{6}, \frac{2\pi}{3}, \frac{5\pi}{6}, \frac{2\pi}{3}, \frac{5\pi}{6}$ и центром O_3 , вписанный в четырехугольник $P_4P_3Q_3Q_4$ таким образом, что вершина одного из углов, равных $\frac{2\pi}{3}$, совпадает с точкой Q_3 .
4. Периодической компонентой с кодом, равным $\dots 44444 \dots$, является правильный двенадцатиугольник W_4 с центром в O_4 , вписанный в четырехугольник $P_5P_4Q_4Q_5$.

Таким же методом можно найти и другие периодические компоненты; некоторые из них изображены на рис. 3. Отметим, что в случае пятиугольника [2], все периодические компоненты (как минимум, внутри первой инвариантной компоненты) являются правильными пятиугольниками и десятиугольниками; в случае восьмиугольника [1], все периодические компоненты являются правильными восьмиугольниками. Случай же двенадцатиугольника оказывается сложнее, ибо уже среди «базовых» периодических компонент встречаются неправильные многоугольники, причем возможно, что это еще не все реально встречающиеся типы периодических компонент!

Тем не менее, пока мы вполне придерживаемся намеченного в [1] плана, следующим шагом которого является поиск преобразования первого возвращения для некоторых фигур.

5 Преобразования первого возвращения

Определение 12. Пусть некоторая фигура S лежит внутри угла $P_2P_1Q_2$. Тогда определим преобразование T'_S первого возвращения (first return map) на S относительно преобразования T' таким образом, что $\forall s \in S: T'_S(s) := T'^{n_s}(s)$, где n_s есть минимальное целое положительное число, т.ч. $T'^{n_s}(s) \in S$. Если такого n_s не существует для некоторой точки $s \in S$, то для этой точки $T'_S(s)$ не определено.

Мы будем искать преобразования первого возвращения для фигур S специального вида.

Определение 13. Пусть фигура S лежит внутри угла $P_2P_1Q_2$. Будем говорить, что S имеет красивое самовозвращение, если выполнено следующее условие:

- Пусть x, y - две неграничные точки, лежащие в S , а k - некоторое целое положительное число. Пусть $T'^k(x)$ и $T'^k(y)$ определены, причем $\forall i \in [1, k]: T'^i(x), T'^i(y) \notin S$. Пусть также последовательности $\rho'(x)[0, k-1]$ и $\rho'(y)[0, k-1]$ совпадают. Тогда точки $T'^k(x)$ и $T'^k(y)$ либо обе лежат внутри S , либо обе не лежат внутри S .

Таким свойством, в частности, обладает любой многоугольник, выпуклый или невыпуклый, который ограничен со всех сторон сторонами угла $P_2P_1Q_2$ и/или периодическими компонентами с траекториями, не пересекающими (лишь касающимися внешним образом) самого исходного многоугольника. Для такого многоугольника, корректным методом поиска преобразования первого возвращения является алгоритм 2.

Algorithm 2: Поиск преобразования первого возвращения

Data: открытый многоугольник S , имеющий красивое самовозвращение

Result: два массива открытых многоугольников

$S_1 = S_1[0..l - 1]$ и $S_2 = S_2[0..l - 1]$, т.ч.:

1. $\forall i \in [0, l) \exists$ движение f_i , т.ч. $f_i(S_1[i]) = S_2[i]$, причем для всех точек $p \in \text{int}(S_1[i]) : T'_S(p) = f_i(p)$;
2. $\forall i \in [0, l)$ границы $S_1[i]$ и $S_2[i]$ состоят исключительно из граничных точек.

```
1 Function tryFirstReturnMap( $S$ );  
2    $S_1 := S_2 := []$ ;  
3    $polS = [S]$ ;  
4   repeat  
5     foreach  $pol \in polS$  do  
6       разбить  $pol$  лучами  $A_3A_2, A_4A_3, \dots, A_7A_6$  на  
7       многоугольники и поместить их(многоугольники) в  
8       массив  $newPolS$ ;  
9      $npols = []$ ;  
10    foreach  $newPol \in newPolS$  do  
11       $newPol = T'(newPol)$ ;  
12      добавить  $newPol$  в  $S_2$ , если  $newPol \subset S$ , и в  
13       $npols$  иначе;  
14       $polS := npols$ ;  
15    until  $polS$  пуст;  
16    foreach  $pol \in S_2$  do  
17      последовательно применять  $T'^{-1}$  к  $pol$ , пока  $pol$  не  
18      окажется внутри  $S$  (не менее одного раза); результат  
19      добавить в  $S_1$ ;  
20  return ( $S_1, S_2$ );
```

Отметим, что теоретически, такой алгоритм может не завершиться никогда; однако если же он завершится, то при обладании входного многоугольника красивым самовозвращением, преобразование первого возвращения будет построено корректно, ибо каждый из промежуточных многоугольников будет либо целиком лежать внутри S , либо не пересекаться с ним.

6 Самоподобие

Согласно намеченному плану, рассмотрим преобразование Γ_1 , являющееся сжатием с центром в точке $A_1 = P_1$ и переводящее O_5 в O_1 . Пусть $Z'_1 := \Gamma_1(Z')$. По аналогии с [1], ожидается, что $T'_{Z'_1}$ будет похож на T' для Z' . Однако алгоритм 2 сообщает, что верна

Лемма 11. $T'_{Z'_1}$ разбивает Z'_1 на десять многоугольников, четыре из которых суть треугольники, пять - четырехугольники, а один - неравносторонний шестиугольник.

Таким образом, план в чистом виде реализовать не удалось. Однако самоподобие найти все-таки удается, хоть и более сложным способом. Для этого введем сжатие Γ_3 с центром в той же A_1 , но переводящее O_5 в O_4 ; пусть $Z'_4 = \Gamma_4(Z')$, а $Z'_{14} = \Gamma_1(Z'_4)$. Заметим (с помощью компьютера), что $\Gamma_1(W_4)$ есть периодическая компонента с периодом 37 относительно T' . Следовательно, Z'_4 и Z'_{14} , как и Z'_1 обладают красивым самовозвращением, и к ним можно применить алгоритм 2.

Лемма 12. Пусть $S = Z'_4$ или $S = Z'_{14}$. Тогда T'_S разбивает S на восемь многоугольников, два из которых - треугольники, а остальные шесть - четырехугольники, причем один из этих четырехугольников невыпуклый. Более того, разбиение Z'_{14} можно получить из разбиения Z'_4 , применив к многоугольникам преобразование Γ_1 .

Прямым следствием леммы 12 является

Лемма 13. Пусть $p_4 \in \text{int}(Z'_4)$, а $p_{14} := \Gamma_1(p_4)$. Тогда:

1. $T'_{Z'_4}(p_4)$ определено, если и только если $T'_{Z'_{14}}(p_{14})$ определено;
2. если $T'_{Z'_4}(p_4)$ определено, то $\Gamma_1(T'_{Z'_4}(p_4)) = T'_{Z'_{14}}(p_{14}) = T'_{Z'_{14}}(\Gamma_1(p_4))$.

7 Доказательство теоремы 1

С помощью найденного в прошлом разделе самоподобия, докажем существование апериодической траектории, т.е. теорему 1. Для этого рассмотрим (см. рис. 4) «ракету» $X := (T')^{-2}(Z'_{14})$. Отметим, что X ограничена фигурами W_3 , W_2 и $(T')^{-2}(\Gamma_1(W_4))$, т.е. тремя периодическими фигурами. Пусть Γ_X есть аффинное преобразование, переводящее Z_4 в X с сохранением ориентации. Так как $(T')^{-2}$ не разделило «ракету» Z'_{14} , то очевидна следующая, аналогичная предыдущей, лемма.

Лемма 14. Пусть $p_4 \in \text{int}(Z'_4)$, а $p_X := \Gamma_X(p_4)$. Тогда:

1. $T'_{Z'_4}(p_4)$ определено, если и только если $T'_X(p_X)$ определено;
2. если $T'_{Z'_4}(p_4)$ определено, то $\Gamma_X(T'_{Z'_4}(p_4)) = T'_X(p_X) = T'_X(\Gamma_X(p_4))$.

Рассмотрим бесконечную последовательность фигур (Y_0, Y_1, Y_2, \dots) , где:

- $Y_0 = W_3$, $Y_1 = W_2$, $Y_2 = (T')^{-2}(\Gamma_1(W_4))$;
- $\forall n \in \mathbb{N}, n \geq 3 : Y_n = \Gamma_X(Y_{n-3})$.

Легко показать, что все фигуры Y_n являются периодическими, причем так как $T'_{Z'_4}(X)$ не пересекается с X , то относительно $T'_{Z'_4}$, период Y_n как минимум в два раза больше, нежели период Y_{n-3} , для

любого $n \geq 3$. Пусть y есть предельная точка последовательности (Y_n) . Тогда y не может быть периодической точкой, ибо тогда по леммам 8, 9 y должна обладать окрестностью точек с одинаковыми периодами (кроме, быть может, одной). Но y также не может быть и граничной точкой, ибо тогда должен существовать отрезок прямой ненулевой длины, содержащий y и состоящий лишь из граничных точек; это невозможно в силу «спиралеобразности» последовательности (Y_n) . Следовательно, y есть апериодическая точка, и теорема 1 доказана.

8 Доказательства теорем 2 и 3

Доказательства теорем 2 и 3, базируются на следующих леммах.

Лемма 15. Пусть $S = Z'_4$ или $S = Z'_{14}$. По лемме 12 преобразование первого возвращения T'_S разбивает S на восемь фигур; пусть это S_1, S_2, \dots, S_8 , а t_1, t_2, \dots, t_8 - их «времена» первого возвращения в S . Тогда в Z' существует n периодических фигур R_1, \dots, R_n , с периодами p_1, p_2, \dots, p_n относительно T' , т.ч. существует разбиение

$$Z' = \left(\bigcup_{i=1}^8 \bigcup_{j=0}^{t_i-1} T'^j(S_i) \right) \cup \left(\bigcup_{i=1}^n \bigcup_{j=0}^{p_i-1} T'^j(R_i) \right).$$

При этом, $n = 7$ при $S = Z'_4$ и $n = 20$ при $S = Z'_{14}$.

Лемма 16. Пусть S есть произвольный многоугольник. Рассмотрим последовательность разбиений S на конечное число многоугольников, устроенную следующим образом:

1. каждый многоугольник покрашен в зеленый или красный цвет;
2. каждое следующее разбиение может быть получено из предыдущего путем разбиения некоторых **зеленых** многоугольников на некоторое количество красных и зеленых многоугольников, без изменения красных многоугольников;
3. существуют вещественное число $\epsilon > 0$ и целое положительное число k такое, что для любого целого положительного i и любого зеленого многоугольника U , участвующего в i -ом разбиении, гарантируется, что в $i + k$ -ом разбиении красные фигуры, лежащие внутри U , обладают суммарной площадью не меньшей, чем ϵA , где A есть площадь фигуры U .

Тогда участвующие в разбиениях красные фигуры образуют в S множество полной меры.

Утверждение леммы 15 может быть проверено с помощью алгоритма, похожего на алгоритм 2. В ходе проверки автором были обнаружены периодические компоненты с периодами 1, 1, 18, 24, 1, 60, 54, 3, 32, 2, 756, 1008, 48, 1, 2, 3, 4, 37, 42, 85 (периоды относительно T').

Леммы 14, 15 и 16 позволяют доказать теоремы 2 и 3 для фигуры Z' , ибо:

- Z' можно разбить на траектории первого возвращения точек фигуры Z'_4 и периодические компоненты, траектории которых на попадают в Z'_4 (лемма 15);

- Z'_4 , как и Z' , также можно разбить на траектории первого возвращения точек фигуры S'_{14} и периодические компоненты, траектории которых не попадают в Z'_{14} (та же лемма 15);
- для любой периодической компоненты $U \subset Z'_4$ существует периодическая компонента $U_b \subset (Z'_4 \setminus Z'_{14})$ с траекторией, не проходящей через Z'_{14} , а также целые неотрицательные числа i, j , т.ч. $U = T'^j(\Gamma_1^i(U_b))$ (лемма 14);
- можно рассмотреть последовательность разбиений на траектории первого возвращения фигуры $\Gamma_1^n(Z_4)$ и периодические компоненты, $n = 1, 2, \dots$ (лемма 14); если в каждом разбиении красить периодические компоненты в красный цвет, а траектории первого возвращения - в зеленый, то к полученной последовательности разбиений можно применить лемму 16 с $k = 2$ (в отличие от случаев правильных восьмиугольника и пятиугольника, где $k = 1$);
- если ввести код ρ'' для точек Z'_4 и преобразования $T'_{Z'_4}$, кодирующий каждую точку числом от 1 до 8, то для любой периодической точки (компоненты) p , $\rho''(\Gamma(p))$ можно получить из $\rho''(p)$ с помощью подстановки σ , не зависящей от выбора точки p .

Доказать же теоремы 2 и 3 для всего угла $P_2P_1Q_2$ и, как следствие, для всей плоскости, позволяет следующая лемма, похожая на лемму 10 в [1]. Пусть T_6 есть преобразование первого возвращения T' для угла α_6 . Пусть преобразование H есть параллельный перенос, т.ч. $H(A_1) = A_1^3$.

Лемма 17. Пусть $x \in \text{int}(\angle P_2P_1Q_2)$. Тогда:

1. $T'(x)$ определено, если и только если $T_6(H(x))$ определено;
2. Если $T'(x)$ определено, то $H(T'(x)) = T_6(H(x))$.

О результатах данной статьи были сделаны доклады на Combinatorics

on Words, Calculability and Automata research school (CIRM, Marseille, France, January 30 - 3 February 2017), на Tiling Dynamical System research school (CIRM, Marseille, France, 20-24 November 2017), на XXIV и XXV Международных конференциях с международным участием "Ломоносов"(10-14 апреля 2017, 3-9 апреля 2018), на 57, 58 и 59 конференциях с международным участием в МФТИ (24-29 ноября 2014, 23-28 ноября 2015, 21-26 ноября 2016), а также на Зимней школе "Комбинаторика и теория алгоритмов"(18-25 февраля 2018).

Работа поддержана грантом РНФ № 17-11-01337.

9 Литература

Список литературы

- [1] Rukhovich F. Outer billiards outside a regular octagon: periodicity of almost all orbits and existence of an aperiodic orbit. — Doklady Mathematics, 2018, Vol.98, Issue 1, pp.334-337.
- [2] Табачников С. Внешние биллиарды. — Успехи математических наук, т.48, вып. 6(294), стр.75-102.
- [3] Moser J. Is the solar system stable? — Math. Intell., 1(1978), pp.65-71.
- [4] R. E. Schwartz. Outer billiards on kites. — Annals of Mathematics Studies, 171. — Princeton University Press, Princeton, NJ, 2009.
- [5] D. Dolgopyat, B. Fayad. Unbounded orbits for semicircular outer billiard. — Ann. Henri Poincare, 10, pp.357-375, 2009.
- [6] N. Bedaride, J. Cassaigne. Outer billiards outside regular regular polygons. — Journal of the London Mathematical Society, 2011.

- [7] S. Tabachnikov. Geometry and Billiards. — Student Mathematical Library, 30 (2005). American Mathematical Society, Providence, RI.
- [8] S. Tabachnikov. On the dual billiard problem. — Adv. Math, 115(2), pp.221-249, 1995.
- [9] N. Bedaride, J. Cassaigne. Outer billiards outside regular regular polygons. — eprint arXiv:0912.0563, 2011.
- [10] R. E. Schwartz. Outer Billiards, Arithmetic Graph and the Octagon. — eprint arXiv:1006.2782, 2010.
- [11] R. E. Schwartz. The octagonal PETs. — Mathematical Surveys and Monographs, 197 (2014), American Mathematical Society, Providence, RI.

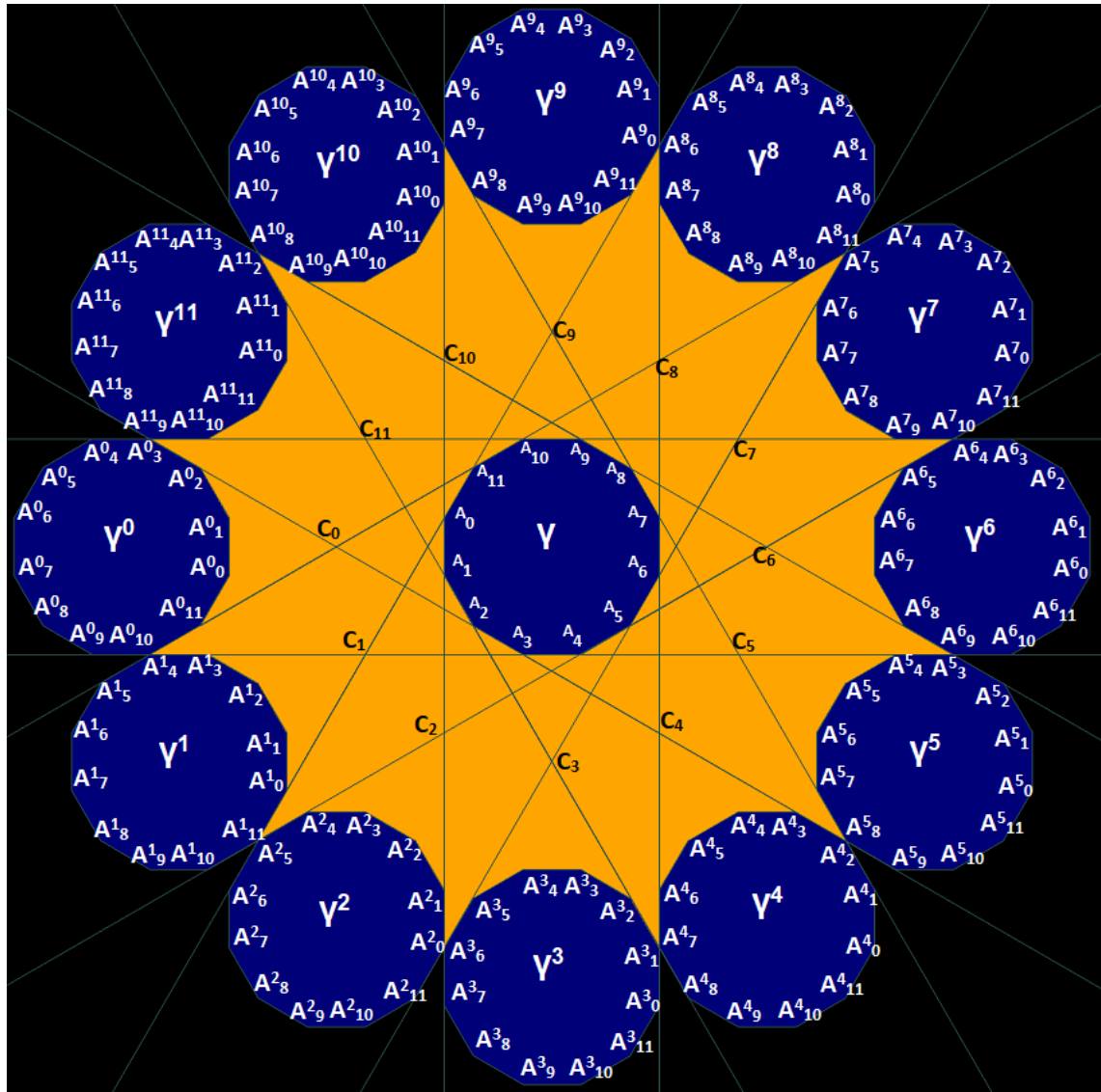


Рис. 1: Первая инвариантная компонента [2] - фигура Z

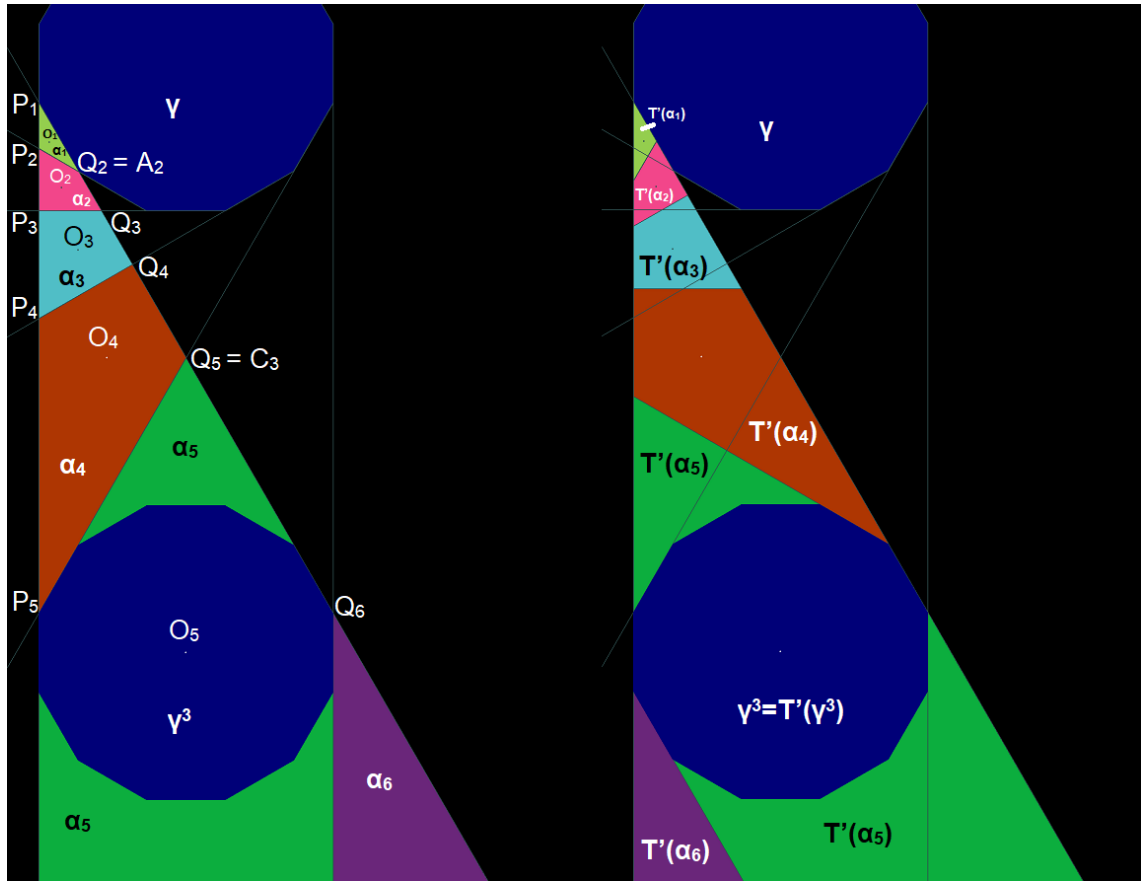


Рис. 2: Основные обозначения и преобразование T'

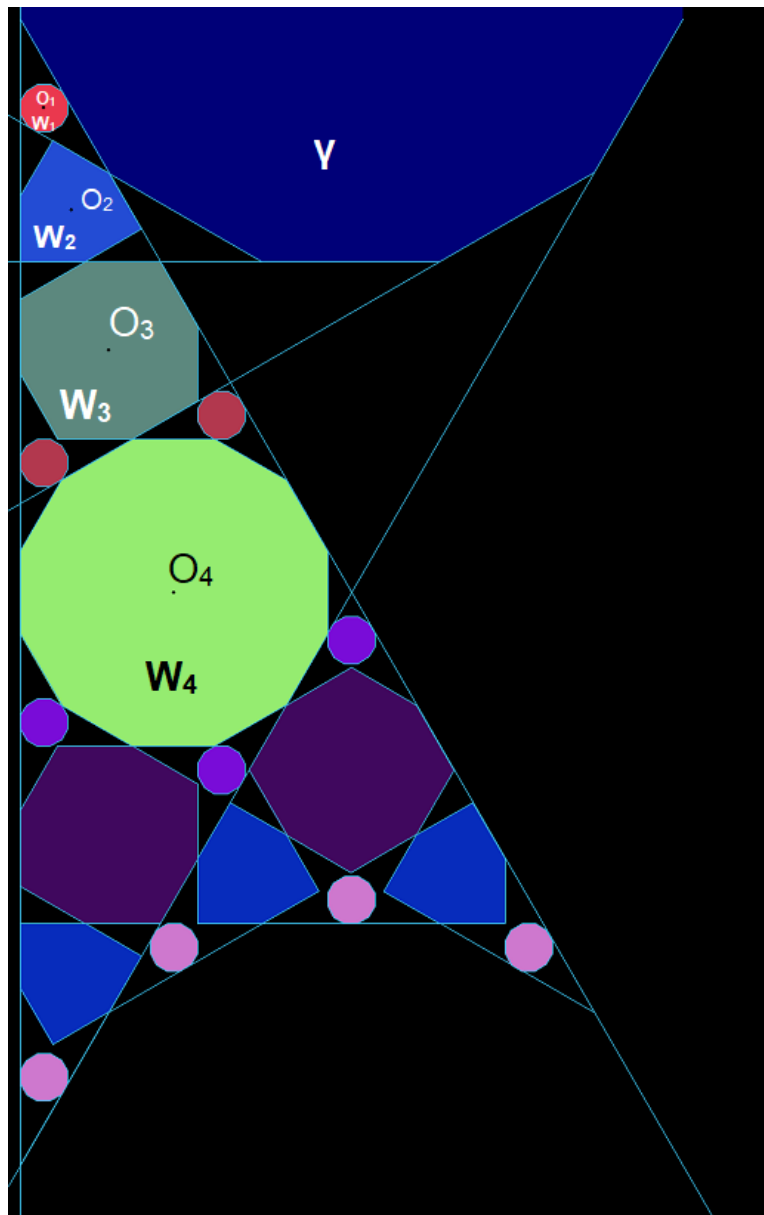


Рис. 3: Базовые периодические компоненты

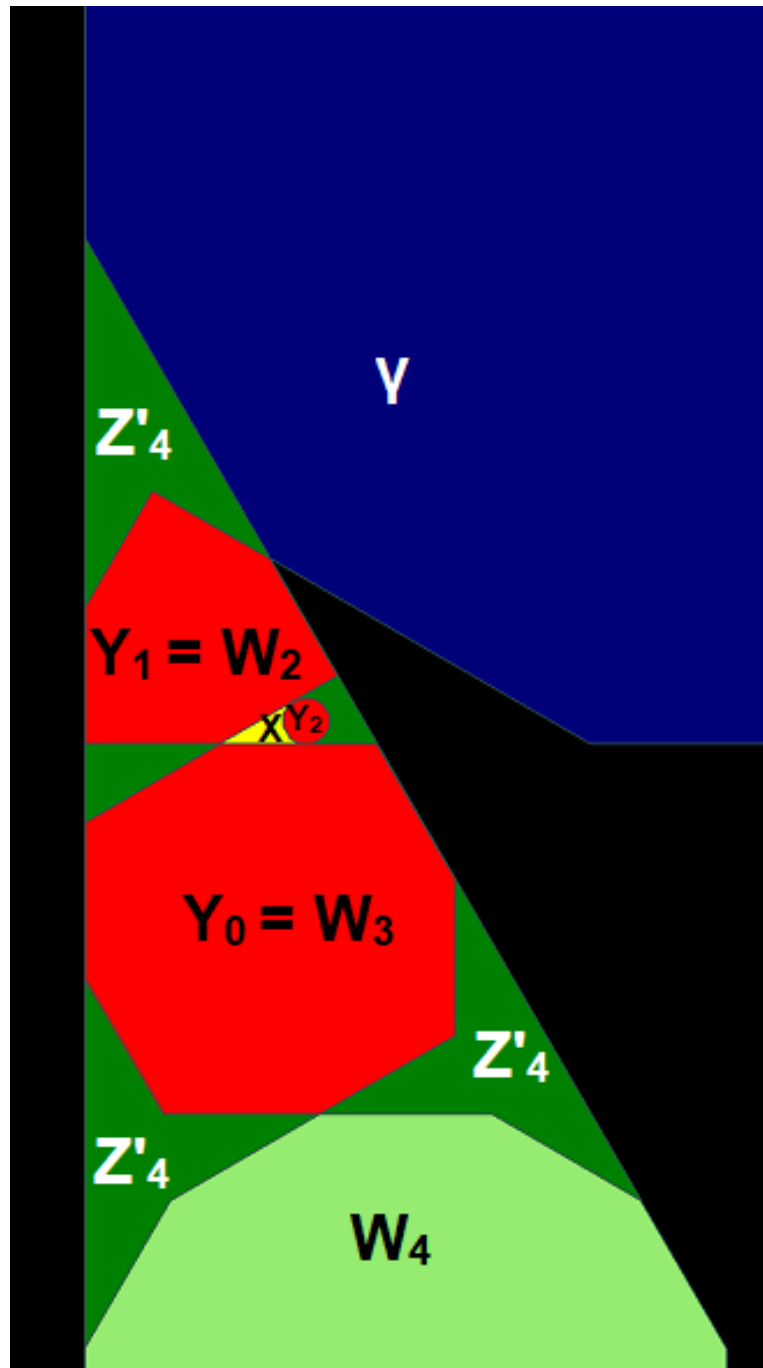


Рис. 4: Фигура X и начало последовательности Y